

ワーキング・セット・モデルの特性測定

小野隆喜, 中崎良成, 箱崎勝也
(日本電気株式会社 中央研究所)

1. はじめに

マルチプログラミング・システムにおいて、仮想記憶方式を採用したシステムが普及しつつある。このようなシステムでは、メモリ管理、特にメモリの使用効率の如何によりシステム全体の処理効率は大きく影響される。

種々のメモリ管理方式の下でメモリの使用効率を観察する場合、プログラムのメモリ参照特性を把握する事が重要になる。通常、メモリの参照はプログラム構造に依存する誤であるが、一般的には小さなループ中を実行し、適当な間隔で大きなループヘジャンプし、稀れに更に異なる箇所にジャンプするものと考えられる。この時、ループ中を実行する、即ちメモリ参照がある領域に集中する事になる。このメモリ参照の集中をプログラムのローカリティと呼んでいる。プログラムのローカリティを扱ったモデルの一つに、ワーキング・セットの概念がある。このモデルでは、メモリ管理を動的に行なう事に特徴がある。即ち、メモリ参照の過去の履歴を基に近い将来の参照を予測して管理しようとするとものである。

ワーキング・セット・モデルに則して実際のデータを測定^{[1][2]}し、性能を解析した報告はまだ少ない。

そこで今回、我々はメモリ管理の性能へ与える影響を検討するに先立って、ワーキング・セット・モデルで定義された種々のパラメータについてデータを測定した。以下にこのモデルについて説明し、次にデータの測定方法と、得られた結果の一部を記述し、最後に考察を述べる。

2. ワーキング・セット・モデル^[4]

ワーキング・セット・モデルは、P·J·Denning によって提案されたモデルである。あるプログラムのワーキング・セットとは、そのプログラムがある時刻 t からそれ以前の t-τ で時間の間に参照した情報の集合 ($W(t, \tau)$) として定義され、ここで特に τ を ウィンド・サイズと言つ。以下にワーキング・セット・モデルで定義される主なパラメータについて述べる。

ワーキング・セット・サイズ: $w(t, \tau)$

ワーキング・セット $W(t, \tau)$ に含まれるページ数を表す。

平均ワーキング・セット・サイズ: $\bar{w}(\tau)$

$w(t, \tau)$ より

$$\bar{w}(\tau) = \lim_{K \rightarrow \infty} \frac{1}{K} \sum_{t=1}^K w(t, \tau)$$

で定義される。τ > 0 の時ににおいては、 $w(t, \tau) = 0$ 、メモリ・アクセスは無限に続くものと考える。

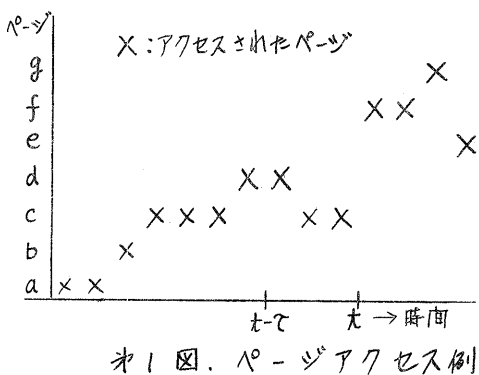


図 1. ページアクセス例

ミッシング・ページ率: $m(\tau)$

オ1 図において $W(t, \tau)$ のページを確保して $(t, t+1)$ の間処理を行うとページ t についてミッシング・ページが起きる。ミッシング・ページ率は、 $\overline{w(\tau)}$ のページを確保して次のメモリ・アクセスを行った時、ミッシング・ページが生じる確率であり、次の式で表わすことができる。

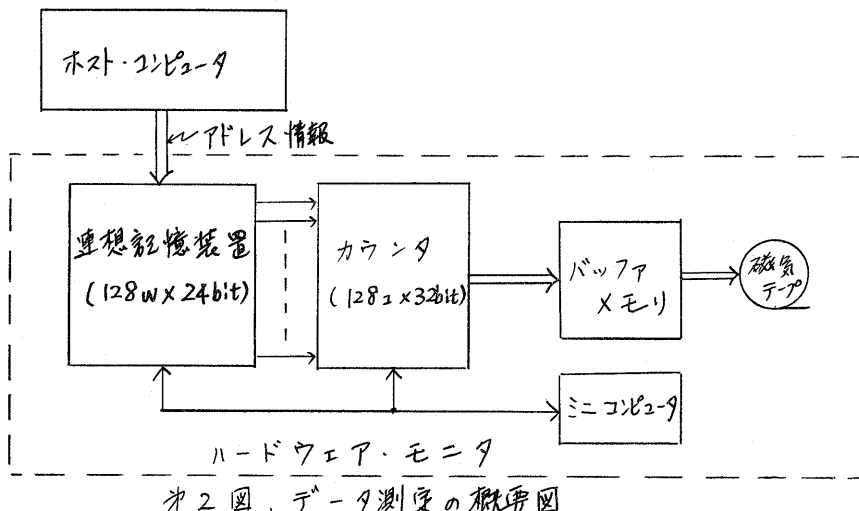
$$m(\tau) = \lim_{K \rightarrow \infty} \frac{1}{K} \sum_{t=1}^K \{ w(t+1, \tau+1) - w(t, \tau) \}$$

このようがワーキング・セット特性を定量的に求めることによって、プログラムの局所性に関する動特性が把握できる。それらの特性から適当なワーキング・セットを主記憶上に確保してプログラムを実行するヒューリスティクスにより、スラッシングを防止でき、主記憶を有効に各プログラムに割り当てるために最適なプログラム多重度を決定する上で有用な情報となる。また、プログラムの局所性の評価のために用いるヒューリスティクスもできる。

3. 実験

(1) 測定方法

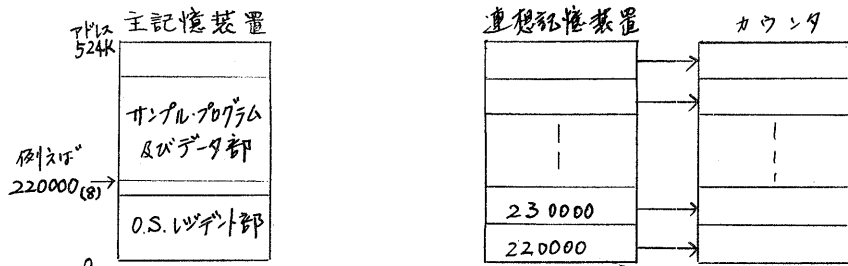
データ測定方法の概要をオ2図に示す。



ホスト・コンピュータには、NEAC 2200 シリーズ、モデル 500 (主記憶 524 Kch, サイクル・タイム 1.5 μs), ミニコンピュータは NEAC-M4 を使用している。データ測定装置は、先に当所で試作したハードウェア・モニタ (SYD AS)^[5] の機能の一部を用いている。まずホスト・コンピュータ上でサンプル・プログラムを実行する。その時のアドレス情報を電気的に測定装置へ取り出す。測定装置では、予めミニコンピュータにより連想記憶装置の各ワードにページを表わすアドレス値をセットしておき、このアドレス値とホスト・コンピュータからのアドレス情報をこの連想記憶装置で比較する。そこで両アドレスが一致するヒート（連想記憶装置の各ワード）に対応したカウンタで計数する。このカウンタの計数值、即ちページのアクセス回数値を一定時間間隔毎にバックア・メモリを通して磁気テープに記録する。解析は、この磁気テープに記録されたデータを基に

バッキ処理で行う。

オ3図にHOST・コンピュータの主記憶装置と、ハードウェア・モニタの連想記憶装置の関連を示す。



オ3図 主記憶装置と連想記憶装置

オ3図において、例えばサンプル・プログラムとそのデータをHOST・コンピュータへ主記憶装置の220000(8)番地からロードする。この時ページ・サイズを4Kchとするとき、連想記憶装置の各ワードには、順次8進数で220000, 230000, 240000, ... をセットする。そして実際に連想記憶装置で一致を検出する時は装置の下位12ビットについて注目しないように制御する。このようにしてHOST・コンピュータ稼動時のアドレス・レジスタの内容と、連想記憶装置に予めセットした値（この値は各の割り振りによりページ・アドレスと考えられる）と比較し、各ページに対するアクセス回数をカウンタで計数する。改に、仮想的にヤーディング方式を導入し、各ページに対するアクセス回数によって等価な測定が行なえる。

測定において次に考慮したことは、データロストの防止である。カウンタの計数値を一定時間間隔（プロセス・タイムに応じて）毎に磁気テープに記録するが、この時間間隔を短くするとデータロストが生じる。このために、ハードウェアモニタ側からHOST・コンピュータの動作、即ち停止及び再スタートを制御する機能ができるようにしてある。

(2) サンプル・プログラム

この実験では、測定上の制限がオーバーレイを行なわず、入出力用のユーザーのプログラムを任意に選択してサンプル・プログラムとした。現在までに解析を終えたプログラムは、FORTRAN 及び COBOL で記述したもの、ユーティリティ・プログラムとしてソートのフェーズを単位としたものがある。

FORTRAN 1	: 適行列計算	, ソース・カード枚数 501枚
FORTRAN 2	: 数値計算	, ソース・カード枚数 187枚
COBOL	: 等価計算	
SORT	: プリソート部	

(3) 解析項目

ワーキングセットモデルについては、2章で述べたが、SYDASの測定特性を考慮して作成された解析プログラムにおける解析項目の求め方について説明する。SYDASでの測定時間単位（サンプリングタイム）を U_{ms} とする。測定データとしては、 $U = 1 \text{ ms}, 10 \text{ ms}$ がある。

平均ワーキングセットサイズ $W(T)$

$W(T)$ は、プログラム実行中のある時刻 t において「ワンド」サイズでとした時のワーキングセットサイズ $W(t, T)$ を、プログラム実行開始時 ($t=0$) から、 U_{ms}

s 刻みにプログラム終了時 ($t=t_e$) まで求め、それらのワーキングセットサイズの和を プログラム開始時から終了時までを Ums 刻みにした数 (t_e/U) で割った値である。

$$W(\tau) = \frac{\sum_{n=1}^{[t_e/U]} W(nU, \tau)}{[t_e/U]}$$

[] : ガウス記号

$W(\tau)$ は、ウインドサイズを τ として、時刻 τ が進むに従って変化する $W(t, \tau)$ の平均値である。解析結果より、ウインドサイズを変化させた場合の平均ワーキングセットサイズの変化を知ることができる。

ミッシングページサイズ $m(\tau)$

プログラム実行中のある時刻 τ においてウインドサイズを τ とした時に $W(t, \tau)$ をメモリに確保すると仮定して、次の Ums 中にページフォルトが生ずる回数を $M(t, \tau)$ とする。 $m(\tau)$ は、 $M(t, \tau)$ を Ums 刻みで

、プログラム実行開始 ($t=0$) から終了時 ($t=t_e$) まで求め、それらのページフォルト回数の和を、開始時から終了時のサンプリング回数 (t_e/U) で割った値である。

$$m(\tau) = \frac{\sum_{n=0}^{[t_e/U]-1} M(\tau, nU)}{[t_e/U]}$$

$m(\tau)$ は、ウインドサイズを τ として、時刻 τ が進むに従って変化する $M(t, \tau)$ の平均値である。解析結果より、ウインドサイズを変化させた場合のミッシングページサイズの変化を知ることができる。

スペース・タイム・プロダクト $S(\tau)$

最適なこの値を求めるために使用効率の評価指標としてメモリリストに注目したスペース・タイム・プロダクト $S(\tau)$ を測定した。

$S(\tau)$ は、あるプログラムの実行開始から終了までの占有メモリ量と、占有時間の積であり、次式で表わされる。

$$S(\tau) = \int_{t_0}^{t_e} C(t) dt \quad C(t) : \text{あるプログラムが、時刻 } t \text{ において占有しているメモリの大きさ}$$

ここでは、ページフォルトが発生して、主記憶、補助記憶間のページ転送の必要性が生じた時から、転送が完了して再びプログラムの処理が可能となるまでのページ転送時間を考慮して、 $S(\tau)$ は 次式で表わされる。

$$S(\tau) = W(\tau) \times (t_{cp} + P_f \times t_r)$$

t_{cp} : あるプログラムを処理するために要したプロセスタイム

P_f : あるプログラムを処理する時に発生したページフォルトの全回数

		ページ
g		× × ×
f		×
e	×	× × ×
d		× × × × × × × × × × -----
c	× × × ×	× ×
b	× ×	×
a	×	× ×
	0 U 2U 5U 10U	t_e

図 4 四 SYDAS で測定する場合のメモリアクセス

t_r : ページ転送時間

4. 測定結果

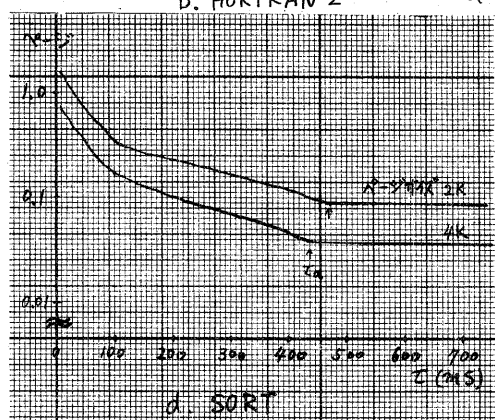
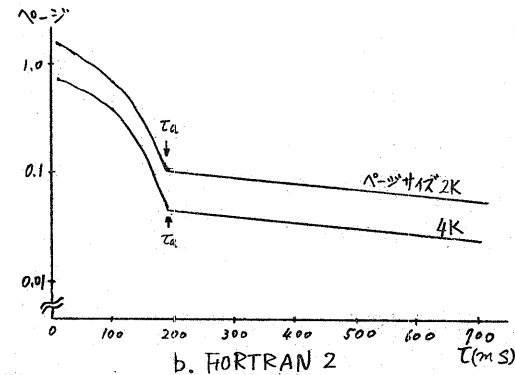
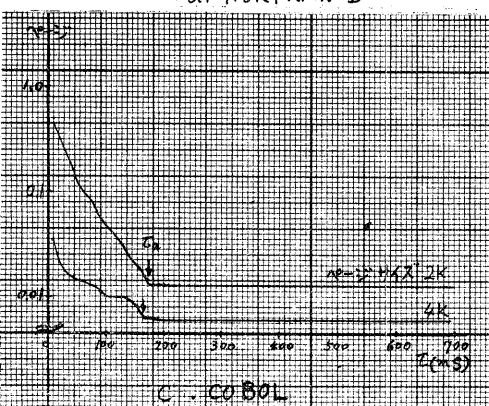
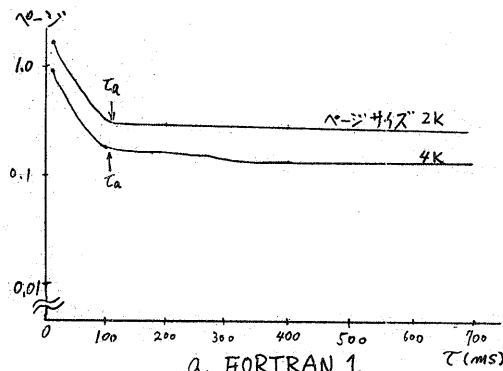
オ5図へオ7図に主な測定結果を示す。

(1) サンプリングタイム

SYDASの機能に従い、メモリアクセス状態を記録するサンプリングタイムとして、1ms単位と10ms単位とを設定した。その結果について比較すると、ほとんど差異は認められない。オ1表より、スペースタイムプロダクト $S(\tau)$ の最小値を記録する τ_a の中で、さらに最小の値は、 $\tau_a = 120 \text{ ms}$ である。このことから、 $S(\tau)$ が最小値となるてを検出するには、10msをサンプリングタイムとして設定すれば十分である。

(2) ミッシングページサイズ $m(\tau)$

FORTTRAN, COBOL, SORTを含め、全ての被測定プログラムについて、 $m(\tau)$ の曲線は2つの部分に分けることができる。1つは、 τ が $(0, \tau_a)$ の範囲をとるときの曲線であり、曲線の傾きが大きい部分である。他の1つは、 τ が (τ_a, ∞) の範囲をとるときの曲線であり、傾きがロに近い部分である。FORTTRAN及びCOBOLプログラムとSORTプログラムについて比較すると、次のことことが明らかである。FORTTRAN, COBOLでは $(0, \tau_a)$ の間の傾きが大きく、 τ_a の存在かはっきりしている。SORTでは $(0, \tau_a)$ の間の傾きが小さく、 τ_a の存在か前者ほど明確ではない。



オ5図 ミッシング・ページ・サイズ

(3) 平均ワーキングセットサイズ $W(\tau)$

$W(\tau)$ の曲線は、 τ が小さい値において急激に立ち上り、 τ の大きい値においては変化が少なく平坦な曲線となる。FORTRAN, COBOL プログラムと SORT プログラムとを比較すると前者の $W(\tau)$ の傾きは、 τ の大きな値において後者における変化率よりも小さい。

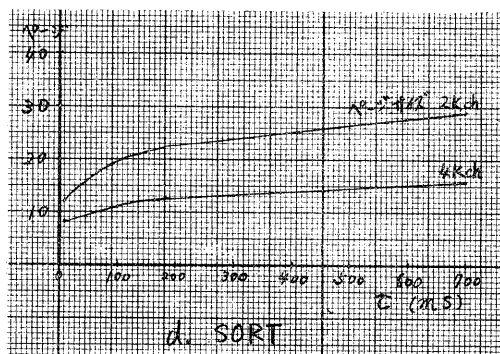
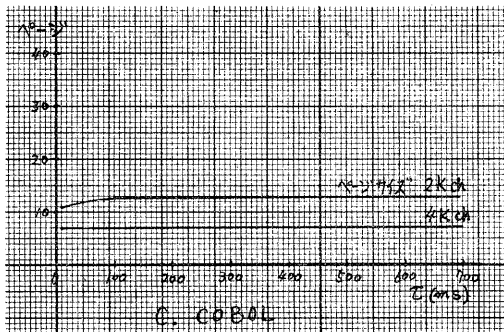
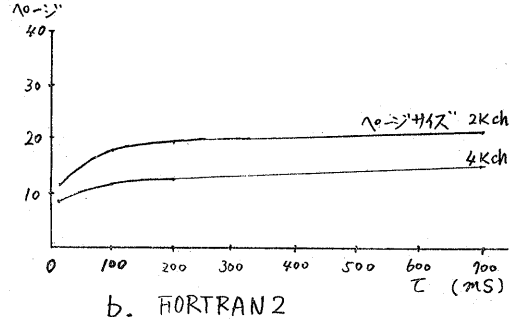
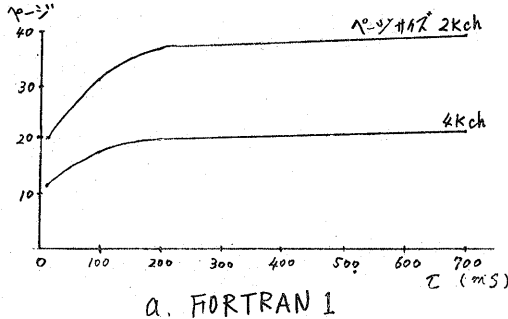
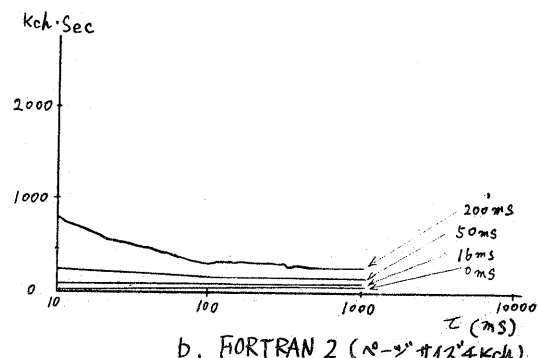
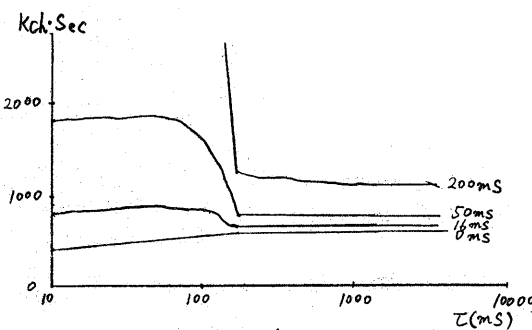


図6 図、平均ワーキング・セット・サイズ

(4) スペース・タイム・プロダクト $S(\tau)$

$S(\tau)$ の曲線は、 τ が小さい値では、ページ転送時間が大きいほど極端に大きな値を示す。ページ転送時間が小さい $S(\tau)$ では、 τ による変化が少ない。転送時間が 50 ms 以上になると、ほとんどのプログラムでは、 τ が $(0, \tau_a)$ の範囲で減少しており、 τ_a 以後の領域では、FORTRAN, COBOL プログラムではほぼ一定値となるが、SORT プログラムでは、 τ が大きくなると $S(\tau)$ も大きくなっている。



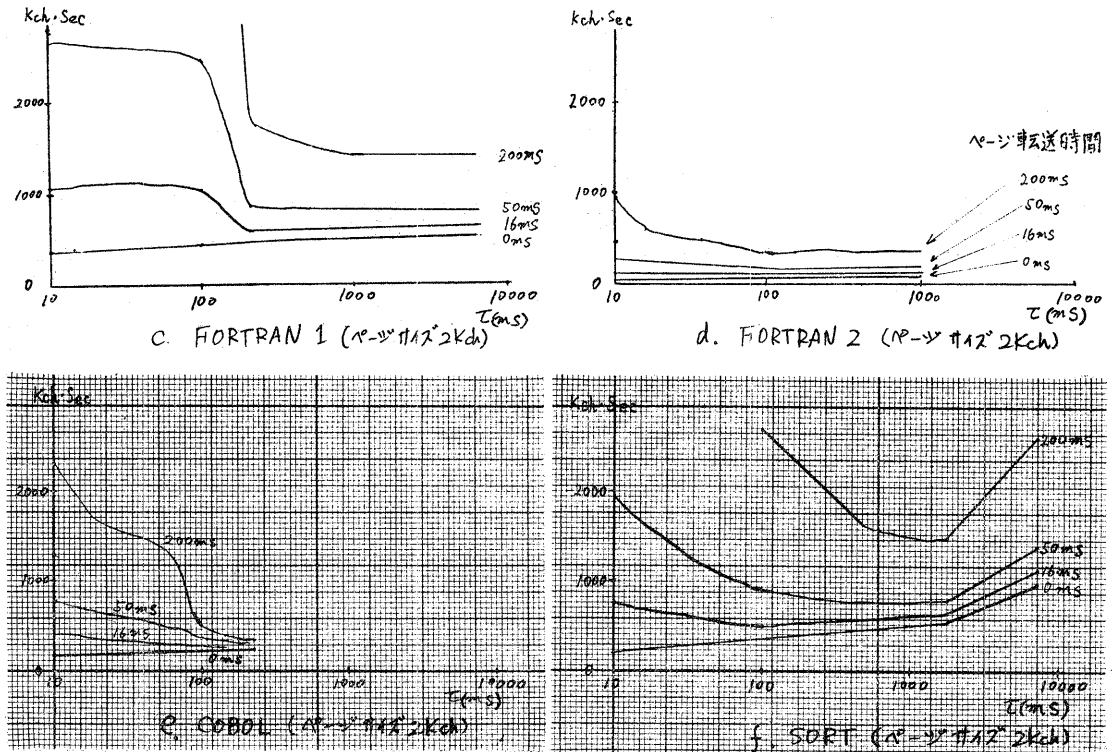


図4 スペースタイム・プロダクト

5. 考察

オ1表では、被測定プログラムについて重要と考えられる項目について整理した結果を示す。スペースタイム・プロダクトについては、ページ転送時間を50msとした場合のデータである。

(1) オ1表より、スペースタイム・プロダクトの最小値におけるウインドサイズ T_0 の値は、ページサイズ2Kの場合で、106ms～768msまでの範囲にありて。に対応する平均ワーキングセットサイズ $W(T_0)$ は、12.9ページ～38.4ページまでプログラムによつ7種々な値を示す。また、 $W(T_0)/P_A$ の値が、ページサイズ2Kの場合で0.60～0.99までのばらつきがあることにより、最適なワーキングセットサイズは、プログラムの大きさに単純に比例するものではないことが明らかである。ミッシングページサイズ $m(T)$ において、 $m(T_0)$ の値がページサイズ2Kの場合で0.012ページ～0.327ページまでの値であり、 $W(T_0)$ と同様、プログラムによるばらつきが大きい。

(2) ミッシングページサイズ $m(T)$ の曲線から求めた T_0 と T_0 の値は、一致しないが、スペースタイム・プロダクトの最小値 $S(T_0)$ との関係が

$$S(T) \leq 1.05 \times S(T_0)$$

となる T を満足する値の中に T_0 は含まれる。実際のシステムにおいて、メモリ管理を行なう場合には、ミッシングページに関する情報は、他のパラメータと比較して収集し易いので、 T_0 を制御変数として使える可能性がある。

表1表. 測定データの主要項目一覧表

プログラム名	ページ サイズ (Kch)	アクセス ページ数 PA	$S(\tau)$ の 最小値 S_{MIN} (Kch/s)	S_{MIN} のとき の τ_0 (ms)	$S(\tau_0) \times 1.05$ 倍のて範囲 (ms) *	$m(\tau_0)$ (ページ)	$W(\tau_0)$ (ページ)	$(W(\tau_0)) / PA$	τ_a (ms)
FORTRAN 1	2	49	768	490	250 ~	0.072	38.4	0.78	180
	4	25	725	540	160 ~	0.035	21.1	0.84	180
FORTRAN 2	2	29	106	120	110 ~ 150	0.327	17.6	0.60	120
	4	16	110	410	90 ~	0.137	14.5	0.90	120
COBOL	2	13	286	250	160 ~	0.012	12.9	0.99	170
	4	7	302	160	20 ~	0.006	7.0	1.00	160
SORT	2	41	610	1130	470 ~ 1700	0.051	29.6	0.72	480
	4	21	572	430	330 ~ 2000	0.043	14.3	0.68	440

PA : 実行中アクセスされたページの種類数

S_{MIN} : スペースタイムプロダクト $S(\tau)$ の最小値

τ_0 : S_{MIN} におけるての値

* : $S(\tau) \leq 1.05 S_{MIN}$ を満足する ての範囲

$m(\tau_0)$: τ_0 におけるミッシング"ページサイズ"の値

$W(\tau_0)$: τ_0 におけるワーキング"セットサイズ"の値

τ_a : ミッシング"ページサイズ" $m(\tau)$ の曲線が大きく変化する部分と比較的平坦な部分
の境界点におけるての値

6 おわりに

ワーキングセットモデルの各解析項目における実測結果から、プログラムが示す特性には、プログラムによつぱらつきがあることが明らかとなつた。従つて、メモリ管理は、実行されるプログラム全体にわたつた統一された管理より、むしろ各プログラム毎に管理することが望ましいと考えられる。現実のシステムにおいて、このような制御を行う場合には、制御の複雑化に伴つて、導入のためのコストについて検討する必要がある。今後、ここで得たデータを基に、制御のためのアルゴリズムを設定し、評価すると共に、システムへの導入等について検討する予定である。

謝 辞

最後に、日頃御指導頂く藤野部長、竹津課長ならびに関連グループの方々に深謝致します。

参考文献

- [1] J. Rodriguez - Rosell : Empirical Working Set Behavior
C. ACM Vol. 16 NO. 9 pp 556 - 560 (1973)
- [2] 小野他 : プログラム動特性の測定
情報処理学会第15回大会(1974), 予稿集 NO. 47
- [3] W. W. Chu and H. Opderbeck : Performance of Replacement Algorithms with Different Page Sizes.
Computer, 1975 (11), pp 14 - 21
- [4] P. J. Denning : The Working Set Model for Program Behavior
C. ACM, Vol. 11, NO. 5 pp 323 - 333 (1968)
- [5] 小野 箱崎 : システム・T-9収集装置-SYDAS
電子通信学会全国大会(1971), 予稿集 NO. 1053